



UNIVERZITET U NOVOM SADU
PRIRODNO-MATEMATIČKI
FAKULTET
DEPARTMAN ZA FIZIKU



УНИВЕРЗИТЕТ У НОВОМ САДУ
ПРИРОДНО-МАТЕМАТИЧКИ ФАКУЛТЕТ

ПРИМЉЕНО	25.07.2011
ОРГАНЗЈЕУ	БРОЈ
0603	9/743

Doprinos fononskog podsistema termičkim osobinama nanofilmova

- diplomski rad -

Mentor:
Akademik, prof.dr Jovan Šetrajčić

Kandidat:
Dejan Topić

Novi Sad, 2011.

Predgovor

Savremena nauka materijala istražuje mogućnost „pojačavanja” određenih (potrebnih) i „pri-
gušivanje” drugih (nepotrebnih) fizičkih osobina. U tu svrhu su posebno ispitivani niskodimenzioni
kristalni sistemi (ultratanki filmovi, superrešetke, te kvantne žice i tačke).

Današnji razvoj tehnike i tehnologije omogućava pravljenje ovakvih kvantnih sistema, eksperimentalni rezultati su prisutni i merna oprema može da ih prati, ali se u domenu teorijskih razmatranja (modelovanja i analitičkog rešavanja) ostalo je dosta prostora za rad.

Najveća poteškoća je upravo u slabo i neadekvatno primenljivom matematičkom aparatu. U ovom radu se pokazuje da se metode diferencnog računa uz odgovarajuću podršku numeričkih proračuna mogu uspešno primeniti na iznalaženje zakona disperzije i Grinovih funkcija fonona u ultratankim kristalnim filmovima. Na osnovu toga, u radu je određena toplotna kapacitivnost filma, kao njegova makroskopska karakteristika.

Fononi su osnovna elementarna pobuđenja u fizici čvrstog stanja, određuju sve mehaničke osobine sistema, učestvuju u svim transportnim procesima definijući praktično sve relevantne karakteristike supstancije. U radu su određene osnovne termodinamičke veličine fononskog pod-sistema – Debajevi parametri koji karakterišu prvenstveno sva provodna svojstva kristala.

Ovaj diplomski rad je uradjen pod mentorstvom prof. dr Jovana Šetrajčića.

Novi Sad, 20.07.2011.

Dejan Topić

Sadržaj

1 Uvod	4
2 Fononi u kristalima	5
2.1 Fononi u neograničenim strukturama	5
2.2 Formiranje fononskog modela	6
2.3 Zakon disperzije fonona	7
2.4 Termodinamika idealnog kristala	10
2.4.1 Debajeva aproksimacija – NISKE TEMPERATURE	11
3 Fononi u kristalnim filmovima	12
3.1 Analiza fononskog modela	12
3.2 Spektri fonona u filmu	15
3.3 Termodinamika fononskih filmova	19
4 Zaključak	22
5 Literatura	23

1 Uvod

Za modernu nauku o materijalima danas je najznačajnije precizno strukturiranje materijala do dimenzija reda veličine nanometara, posebno na polju elektronike, optoelektronike i visokotemperaturske superprovodnosti. Teorijska i eksperimentalna istraživanja osobina niskodimenzionih sistema (superrešetke, tanki filmovi, kvantne žice i kvantne tačke), postala su u poslednjoj deceniji veoma intenzivna, pa bi se moglo reći da predstavljaju jedan od udarnih pravaca istraživanja u savremenoj fizici kondezovane materije. Razlozi interesovanja za ovakve sisteme, kao realnije strukture od neograničenih, su mnogobrojni. Fenomeni povezani sa takim dimenzijama dovode do pojave novih i drugačijih, odnosno izmenjenih osobina materijala i specifičnih pojava što je interesantno ne samo sa fundamentalnog fizičkog stanovišta, već su takve strukture od šireg praktičnog značaja.

Fononi predstavljaju osnovna pobuđenja u kristalima i fononski podsistem je u njima uvek prisutan, bez obzira na to da li se kao glavni nosioci mehanizama koji „proizvode“ određene fizičke osobine, pojave i efekte u kristalnim strukturama javljaju elektroni, eksitonii, feroelektronska pobuđenja ili neki drugi vidovi elementarnih ekscitacija. Iz tog razloga, ispitivanje udela i uticaja fononskog podsistema na fizičke karakteristike materijala poseduje veliki značaj za teoriju čvrstog stanja. U ovom radu izvršena je analiza fononskih spektara ultratankih kristalnih filmova metodom dvovremenskih temperaturskih retardovanih Grinovih funkcija. Za rešavanje ovog problema razvijen je i niz drugih matematičkih aparata (metod Hajzenbergovih jednačina kretanja, malih perturbacija, talasnih funkcija itd.), ali je pomenuti formalizam odabran iz sledećih razloga.

1. Iz opšte teorije linearog odziva sistema poznato je da se formiranjem jednačine kretanja za Grinovu funkciju u opštem slučaju dobija nova funkcija Grina, čiji je red viši od reda polazne funkcije. Sukcesivnim ponavljanjem ove procedure dobija se beskonačni lanac međusobno povezanih jednačina za Grinove funkcije, koji se korišćenjem izvesne dovoljno dobre aproksimacije prekida na taj način što se viša Grinova funkcija izražava pomoću prve niže. Od ovog pravila, međutim, izuzeti su tzv. „kvadratni“ hamiltonijani, čije prisustvo obezbeđuje da se u jednačini kretanja ne pojavljuju Grinove funkcije višeg reda. Kao što će u daljem tekstu biti pokazano, hamiltonijan fononskog podsistema superrešetke upravo je takvog oblika.
2. Realni deo pola Grinove funkcije određuje frekvenciju (a samim tim i energiju) elementarnih ekscitacija koje se javljaju u sistemu, dok je recipročna vrednost njegovog imaginarnog dela proporcionalna vremenu života ovih ekscitacija (tj. kvazičestica).

Da bi se izučile posebnosti karakteristika fonona u ultratankim filmovima, moraju se prethodno spomenuti te iste karakteristike u neograničenim kristalnim strukturama i na osnovu toga izvršiti poređenje fundamentalnih karakteristika ovih struktura.

2 Fononi u kristalima

Najjednostavniji oblik kretanja u čvrstom telu jeste oscilatorno kretanje konstituenata od kojih je sastavljena kristalna rešetka (atoma, molekula, odnosno jona) oko odgovarajućih položaja ravnoteže. Ukoliko se posmatrana kristalna struktura može smatrati neograničenom, onda je ovo oscilatorno kretanje atoma analogno prostiranju talasnih poremećaja (tj. elastičnih talasa) kroz kristal. Ova činjenica implicira mogućnost uspostavljanja izvesne formalne analogije između mehaničkih oscilacija sredine i prostiranja elektromagnetskih talasa: naime, slično kao što elektromagnetno polje vrši razmenu energije sa drugim sistemima u nedeljivim elementarnim iznosima $\hbar w$ (tj. fotonima), energija vibracije kristalne rešetke takođe je kvantovana, pri čemu se kvant energije elastičnog talasa naziva **fononom**. S obzirom da nikakav eksperiment direktno analognan fotoelektričnom efektu - koji predstavlja jak dokaz u prilog kvantovanja svetlosti - nije do danas izведен sa fononima, postavlja se pitanje eksperimentalne potvrde njihovog postojanja. Najvažniji dokazi uključuju sledeće.

1. Udeo rešetke u topotnom kapacitetu čvrstog tela uvek teži nultoj vrednosti kada temperatura teži nuli. Ovo može biti objašnjeno jedino kvantovanjem vibracije kristalne rešetke.
2. X-zraci i neutroni se neelastično rasejavaju na kristalima, pri čemu promene njihove energije odnosno impulsa odgovaraju kreaciji ili anihilaciji jednog ili više fonona.

Dakle, fononi opisuju oscilatorno kretanje u posmatranoj kristalnoj strukturi i - s obzirom da se kristal u smislu njegovih oscilatornih karakteristika može smatrati sistemom povezanih oscilatora - uvide se prilikom kvantomehaničkih analiza linearног oscilatora, čija je energija data izrazom:

$$E_n = \left(n + \frac{1}{2} \right) \hbar \Omega, \quad n \in (0, 1, 2, \dots) \quad (2.1)$$

a priraštaj energije pri prelasku iz stanja n u stanje $n + 1$ (tj. energija fonona):

$$E_{n+1} - E_n = \hbar \Omega \quad (2.2)$$

Energija fonona, preko $\Omega = \sqrt{C/M}$, zavisi od mase oscilatora M i konstante C koja karakteriše elastičnu silu oscilatora, a impuls mu je jednak $\vec{p} = \hbar \vec{k}$. S obzirom da svaki atom prilikom oscilovanja trpi uticaje okolnih atoma i istovremeno i sam utiče na njihovo oscilovanje, fononi u kristalnim strukturama ne mogu se smatrati kvantima oscilovanja pojedinačnih atoma, već predstavljaju elementarna pobuđenja čitavog kristala.

2.1 Fononi u neograničenim strukturama

Potencijalna energija kristala na absolutnoj nuli (tzv. zamrznuti kristal) data je izrazom:

$$W = \frac{1}{2} \sum_{\vec{n}, \vec{m}} V(\vec{n} - \vec{m}) \quad (2.3)$$

pri čemu je $V(\vec{n} - \vec{m})$ potencijal interakcije između dva atoma na mestima \vec{n} i \vec{m} . Ako se temperatura povisi, atomi počinju da osciluju tako da trenutni položaj atoma ne karakterišu više vektori \vec{n} i \vec{m} , već vremenski zavisni vektori

$$\vec{n} + \vec{u}(\vec{n}, t), \quad \vec{m} + \vec{u}(\vec{m}, t),$$

gde je $\vec{u}(\vec{n}, t) \equiv \vec{u}(\vec{n})$ pomeraj atoma iz ravnotežnog položaja \vec{n} . Tada se mora izvršiti i prelaz:

$$V(\vec{n} - \vec{m}) \equiv V_0(\vec{n} - \vec{m}) \rightarrow V \{ (\vec{n} - \vec{m}) + [\vec{u}(\vec{n}) - \vec{u}(\vec{m})] \} .$$

S obzirom da su na niskim temperaturama pomeraji $\vec{u}(\vec{n})$ mali, koristeći standardnu teoriju malih oscilacija, funkcija V se razvija u stepeni red po Dekartovim komponentama $u_\alpha(\vec{n})$ vektora $\vec{u}(\vec{n})$ oko položaja ravnoteže:

$$\begin{aligned} V\{(\vec{n} - \vec{m}) + [(\vec{u}(\vec{n}) - \vec{u}(\vec{m})]\} &= V_0(\vec{n} - \vec{m}) + \sum_{\alpha; \vec{n}, \vec{m}} \left[\frac{\partial V(\vec{n} - \vec{m})}{\partial (\vec{n} - \vec{m})_\alpha} \right]_0 [u_\alpha(\vec{n}) - u_\alpha(\vec{m})] + \\ &+ \frac{1}{2} \sum_{\alpha\beta; \vec{n}, \vec{m}} \left[\frac{\partial^2 V(\vec{n} - \vec{m})}{\partial (\vec{n} - \vec{m})_\alpha \partial (\vec{n} - \vec{m})_\beta} \right]_0 [u_\alpha(\vec{n}) - u_\alpha(\vec{m})] [u_\beta(\vec{n}) - u_\beta(\vec{m})] + \dots \end{aligned} \quad (2.4)$$

(α i β označavaju moguće projekcije vektora na ose Dekartovog sistema). Svaki atom leži u nekoj potencijalnoj jami, pa iz uslova stabilnosti kristala sledi da je drugi sabirak s desne strane znaka jednakosti u izrazu (2.4) jednak nuli. Dakle, oscilovanje karakteriše samo treći sabirak u izrazu (2.4) - harmonijski član. Ako se ovaj član sumira po svim čvorovima i doda mu se kinetička energija $\sum_{\alpha; \vec{n}} M \dot{u}_\alpha^2 / 2$, dobija se oscilatorni hamiltonijan sistema:

$$H = \sum_{\alpha; \vec{n}} \frac{M}{2} \dot{u}_\alpha^2(\vec{n}) + \frac{1}{4} \sum_{\alpha\beta; \vec{n}, \vec{m}} C_{\alpha\beta}(\vec{n} - \vec{m}) [u_\alpha(\vec{n}) - u_\alpha(\vec{m})] [u_\beta(\vec{n}) - u_\beta(\vec{m})], \quad (2.5)$$

gde su $C_{\alpha\beta}(\vec{n} - \vec{m}) = \left[\frac{\partial^2 V(\vec{n} - \vec{m})}{\partial (\vec{n} - \vec{m})_\alpha \partial (\vec{n} - \vec{m})_\beta} \right]_0$ - Hukove konstante elastičnosti.

Pošto sile koje deluju između atoma u kristalu brzo opadaju sa porastom rastojanja $|\vec{n} - \vec{m}|$ između atoma¹, to se izraz za potencijalnu energiju može napisati na sledeći način:

$$V(\vec{n} - \vec{m}) \sim \frac{1}{|\vec{n} - \vec{m}|^\gamma}, \quad \gamma > 1.$$

Tada se izraz za potencijalnu energiju u (2.5) može napisati u aproksimaciji najbližih suseda, koja se sastoји u zameni sumiranja $\vec{n}, \vec{m} \rightarrow \vec{n}, \vec{n} \pm \vec{\lambda}$, gde $\vec{\lambda}$ povezuje atom na mestu \vec{n} sa njegovim najbližim susedima. Kako je intenzitet $\vec{\lambda}$ za sve najbliže susede isti (idealan kristal!), koeficijent $C_{\alpha\beta}(\vec{\lambda})$ ne zavisi od $\vec{\lambda}$. Na taj način oscilatorni hamiltonijan sistema postaje:

$$H = \sum_{\alpha; \vec{n}} \frac{M}{2} \dot{u}_\alpha^2(\vec{n}) + \frac{1}{4} \sum_{\alpha\beta; \vec{n}, \vec{\lambda}} C_{\alpha\beta} \left[u_\alpha(\vec{n}) - u_\alpha(\vec{n} \pm \vec{\lambda}) \right] \left[u_\beta(\vec{n}) - u_\beta(\vec{n} \pm \vec{\lambda}) \right]. \quad (2.6)$$

2.2 Formiranje fononskog modela

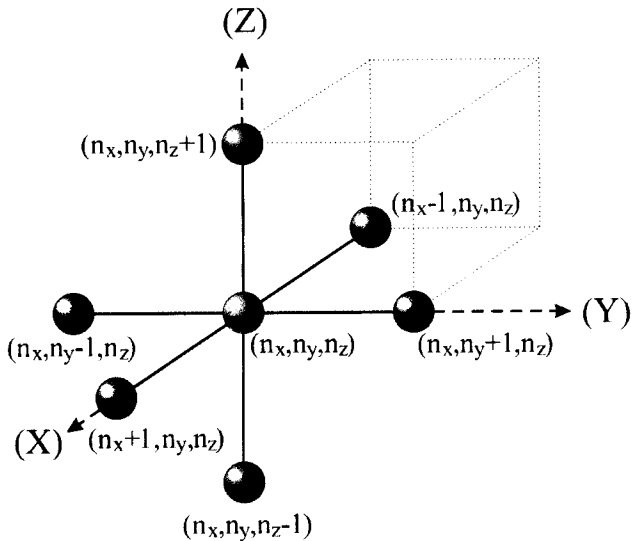
Mada u prirodi nema čistih izotropnih kristala, niti se oni mogu na današnjem nivou tehnologije proizvesti, izučavanje idealnih (beskonačnih) struktura korisno je zbog toga, što se za osnovne fizičke fenomene mogu izračunati njihove globalne karakteristike i dobiti ono što se naziva - kvalitativna slika, a zaključci dobijeni na taj način, kao i metodologija istraživanja, mogu se prenositi na neidealne strukture, a pre svega na kristalne strukture sa narušenom translacionom simetrijom. Idealne beskonačne strukture su kristali sa osobinom translacione invarijantnosti u tri uzajamno nekomplanarna pravca. Ovi pravci, koji se uvode u kristalografskoj, ne moraju biti uzajamno ortogonalni, pa se zato u teorijskoj fizici kondenzovane materije uvodi dodatni Dekartov sistem. Ovde će biti posmatran samo kubni kristal kada su kristalografski uvedeni pravci uzajamno ortogonalni.

¹Lenard-Džonsov potencijal koji je proporcionalan $Ar^{-6} - Br^{-12}$, najpogodniji je kod fonona u slučaju kovalentnih i molekulskih kristala

S obzirom na to, hamiltonijan sistema u aproksimaciji najbližih suseda (2.6) može da se napiše u obliku:

$$H = \sum_{\alpha; \vec{n}} \frac{p_{\alpha; \vec{n}}^2}{2M} + \frac{1}{4} \sum_{\alpha; \vec{n}, \vec{\lambda}} C_{\vec{n}, \vec{\lambda}}^{\alpha\alpha} (u_{\alpha; \vec{n}} - u_{\alpha; \vec{n} \pm \vec{\lambda}})^2, \quad (2.7)$$

gde je $\vec{p} = M \dot{\vec{u}}$ - impuls atoma kristala, a M - masa tih atoma. Drugi sabirak sa desne strane znaka jednakosti predstavlja efektivni međuatomski potencijal interakcije (V_{eff}).



Slika 2.1: Atom u okruženju najbližih suseda

$$\begin{aligned} V_{eff} &= \sum_{\alpha; n_x, n_y, n_z} \frac{C_\alpha}{4} \left[(u_{\alpha; n_x+1, n_y, n_z} - u_{\alpha; n_x, n_y, n_z})^2 + (u_{\alpha; n_x-1, n_y, n_z} - u_{\alpha; n_x, n_y, n_z})^2 + \right. \\ &+ (u_{\alpha; n_x, n_y+1, n_z} - u_{\alpha; n_x, n_y, n_z})^2 + (u_{\alpha; n_x, n_y-1, n_z} - u_{\alpha; n_x, n_y, n_z})^2 + \\ &\left. + (u_{\alpha; n_x, n_y, n_z+1} - u_{\alpha; n_x, n_y, n_z})^2 + (u_{\alpha; n_x, n_y, n_z-1} - u_{\alpha; n_x, n_y, n_z})^2 \right]. \end{aligned} \quad (2.10)$$

Torzione Hukove konstante $C_{\alpha\beta}$ su zanemarene u odnosu na konstante istezanja $C_\alpha \equiv C_{\alpha\alpha}$, a operatori $u_{\alpha\vec{n}}$ i $p_{\alpha\vec{n}} = M\dot{u}_{\alpha\vec{n}}$ zadovoljavaju standardne komutacione relacije:

$$[u_{\alpha\vec{n}}, p_{\beta, \vec{m}}] = i\hbar \delta_{\alpha, \beta} \delta_{\vec{n}, \vec{m}}; \quad [u_{\alpha\vec{n}}, u_{\beta, \vec{m}}] = [p_{\alpha\vec{n}}, p_{\beta, \vec{m}}] = 0. \quad (2.11)$$

2.3 Zakon disperzije fonona

Energetski spektri i stanja, kao što je u uvodnom delu naglašeno, biće potraženi metodom Grinovih funkcija. U tu svrhu posmatra se dvovremenska temperaturska Grinova funkcija:

$$G_{\vec{n}, \vec{m}}^\alpha(t - t') \equiv \langle \langle u_{\alpha; \vec{n}}(t) | u_{\alpha; \vec{m}}(t') \rangle \rangle = \Theta(t - t') \langle [u_{\alpha; \vec{n}}(t), u_{\alpha; \vec{m}}(t')] \rangle_0. \quad (2.12)$$

Dvostrukim diferenciranjem ovog izraza po vremenu i neznatnim srednjivanjem, dobija se:

$$M \frac{d^2}{dt^2} G_{\vec{n}, \vec{m}}^\alpha(t - t') = -i\hbar \delta_{\vec{n}, \vec{m}} \delta(t - t') + \frac{\Theta(t - t')}{i\hbar} \langle [[p_{\alpha; \vec{n}}(t), H(t)], u_{\alpha; \vec{m}}(t')] \rangle_0.$$

Uzimanjem $t' = 0$ i Furije transformacijom $t \rightarrow \omega$ poslednji izraz prelazi u jednakost:

$$\int d\omega e^{-i\omega t} \left\{ \frac{i\hbar}{2\pi} \delta_{\vec{n}, \vec{m}} - M\omega^2 G_{\vec{n}, \vec{m}}^\alpha(\omega) - \frac{1}{i\hbar} \langle \langle [p_{\alpha; \vec{n}}, H] | u_{\alpha; \vec{m}} \rangle \rangle_\omega \right\} = 0,$$

Da bi se shvatio početak primene matematičkog formalizma priložena je slika 2.1, koja analitički prikazuje \vec{n} -ti atom kristala u okruženju svojih najbližih suseda. Radi jednostavnosti, pretpostavlja se da se radi o prostoj kubnoj strukturi sa jednim atomom po elementarnoj celiji (primitivna celija). Vidi se da $|\vec{\lambda}|/a$ može jedino da uzme vrednosti: -1 i 1 . U skladu sa svim ovim, izraz za fononski hamiltonijan može da se napiše u pogodnijoj (razvijenoj) formi:

$$H = T + V_{eff}, \quad (2.8)$$

pri čemu su:

$$T = \sum_{\alpha; \vec{n}} \frac{p_{\alpha; \vec{n}}^2}{2M}; \quad (2.9)$$

koja je zadovoljena za:

$$-M\omega^2 G_{\vec{n},\vec{m}}^\alpha(\omega) = -\frac{i\hbar}{2\pi} \delta_{\vec{n},\vec{m}} + \frac{1}{i\hbar} \langle\langle [p_{\alpha;\vec{n}}, H] \mid u_{\alpha;\vec{m}} \rangle\rangle_\omega. \quad (2.13)$$

Dalji postupak određivanja Grinovih funkcija $G_{\vec{n},\vec{m}}^\alpha(\omega)$, zahteva izračunavanje komutatora koji figurišu u višim Grinovim funkcijama $\langle\langle \cdots | \cdots \rangle\rangle$ iz gornje jednačine.

$$\begin{aligned} [p_{\beta;m_x,m_y,m_z}, H] &= [p_{\beta;m_x,m_y,m_z}, T] + [p_{\beta;m_x,m_y,m_z}, V_{eff}] \equiv \\ &\equiv [p_{\beta;m_x,m_y,m_z}, V_{eff}] = \sum_{\alpha;n_x,n_y,n_z} \frac{C_\alpha}{4} \times \\ &\times \left\{ 2 [p_{\beta;m_x,m_y,m_z}, (u_{\alpha;n_x,n_y,n_z} - u_{\alpha;n_x+1,n_y,n_z})] (u_{\alpha;n_x,n_y,n_z} - u_{\alpha;n_x+1,n_y,n_z}) + \right. \\ &+ 2 [p_{\beta;m_x,m_y,m_z}, (u_{\alpha;n_x,n_y,n_z} - u_{\alpha;n_x-1,n_y,n_z})] (u_{\alpha;n_x,n_y,n_z} - u_{\alpha;n_x-1,n_y,n_z}) + \\ &+ 2 [p_{\beta;m_x,m_y,m_z}, (u_{\alpha;n_x,n_y,n_z} - u_{\alpha;n_x,n_y+1,n_z})] (u_{\alpha;n_x,n_y,n_z} - u_{\alpha;n_x,n_y+1,n_z}) + \\ &+ 2 [p_{\beta;m_x,m_y,m_z}, (u_{\alpha;n_x,n_y,n_z} - u_{\alpha;n_x,n_y-1,n_z})] (u_{\alpha;n_x,n_y,n_z} - u_{\alpha;n_x,n_y-1,n_z}) + \\ &+ 2 [p_{\beta;m_x,m_y,m_z}, (u_{\alpha;n_x,n_y,n_z} - u_{\alpha;n_x,n_y,n_z+1})] (u_{\alpha;n_x,n_y,n_z} - u_{\alpha;n_x,n_y,n_z+1}) + \\ &+ 2 [p_{\beta;m_x,m_y,m_z}, (u_{\alpha;n_x,n_y,n_z} - u_{\alpha;n_x,n_y,n_z-1})] (u_{\alpha;n_x,n_y,n_z} - u_{\alpha;n_x,n_y,n_z-1}) \} = \\ &= -i\hbar \sum_{\alpha;n_x,n_y,n_z} \frac{C_\alpha}{2} \delta_{\alpha\beta} [(\delta_{\vec{n},\vec{m}} - \delta_{n_x+1,m_x} \delta_{n_y,m_y} \delta_{n_z,m_z}) (u_{\alpha;n_x,n_y,n_z} - u_{\alpha;n_x+1,n_y,n_z}) + \\ &+ (\delta_{\vec{n},\vec{m}} - \delta_{n_x-1,m_x} \delta_{n_y,m_y} \delta_{n_z,m_z}) (u_{\alpha;n_x,n_y,n_z} - u_{\alpha;n_x-1,n_y,n_z}) + \\ &+ (\delta_{\vec{n},\vec{m}} - \delta_{n_x,m_x} \delta_{n_y+1,m_y} \delta_{n_z,m_z}) (u_{\alpha;n_x,n_y,n_z} - u_{\alpha;n_x,n_y+1,n_z}) + \\ &+ (\delta_{\vec{n},\vec{m}} - \delta_{n_x,m_x} \delta_{n_y-1,m_y} \delta_{n_z,m_z}) (u_{\alpha;n_x,n_y,n_z} - u_{\alpha;n_x,n_y-1,n_z}) + \\ &+ (\delta_{\vec{n},\vec{m}} - \delta_{n_x,m_x} \delta_{n_y,m_y} \delta_{n_z+1,m_z}) (u_{\alpha;n_x,n_y,n_z} - u_{\alpha;n_x,n_y,n_z+1}) + \\ &+ (\delta_{\vec{n},\vec{m}} - \delta_{n_x,m_x} \delta_{n_y,m_y} \delta_{n_z-1,m_z}) (u_{\alpha;n_x,n_y,n_z} - u_{\alpha;n_x,n_y,n_z-1})] = \\ &= -i\hbar C_\beta (6u_{\beta;m_x,m_y,m_z} - u_{\beta;m_x+1,m_y,m_z} - u_{\beta;m_x-1,m_y,m_z} - \\ &- u_{\beta;m_x,m_y+1,m_z} - u_{\beta;m_x,m_y-1,m_z} - u_{\beta;m_x,m_y,m_z+1} - u_{\beta;m_x,m_y,m_z-1}). \end{aligned}$$

Ovde su iskorišćene komutacione relacije za pomeraje i impulse (2.11), kao i definicija Kronekerovog simbola. Dalje, uzimajući u obzir:

$$G_{\vec{n},\vec{m}}^\alpha \equiv G_{n_x,n_y,n_z;m_x,m_y,m_z}^\alpha = \langle\langle u_{\alpha;n_x,n_y,n_z} \mid u_{\alpha;m_x,m_y,m_z} \rangle\rangle \quad (2.14)$$

i zamenom nađenih komutatora u jednačinu (2.13) sledi:

$$\begin{aligned} -M\omega^2 G_{n_x,n_y,n_z;m_x,m_y,m_z}^\alpha &= -\frac{i\hbar}{2\pi} \delta_{n_x,m_x} \delta_{n_y,m_y} \delta_{n_z,m_z} - C_\alpha \left(6 G_{n_x,n_y,n_z;m_x,m_y,m_z}^\alpha - \right. \\ &- G_{n_x+1,n_y,n_z;m_x,m_y,m_z}^\alpha - G_{n_x-1,n_y,n_z;m_x,m_y,m_z}^\alpha - G_{n_x,n_y+1,n_z;m_x,m_y,m_z}^\alpha - \\ &\left. - G_{n_x,n_y-1,n_z;m_x,m_y,m_z}^\alpha - G_{n_x,n_y,n_z+1;m_x,m_y,m_z}^\alpha - G_{n_x,n_y,n_z-1;m_x,m_y,m_z}^\alpha \right). \end{aligned} \quad (2.15)$$

Primenom nove Furije transformacije ($\vec{n}, \vec{m} \rightarrow \vec{k}$):

$$G_{\vec{n},\vec{m}}^\alpha(\omega) = \frac{1}{N} \sum_{\vec{k}} e^{-i(\vec{n}-\vec{m})\vec{k}} G_{\vec{k}}^\alpha(\omega); \quad \delta_{\vec{n},\vec{m}} = \frac{1}{N} \sum_{\vec{k}} e^{-i(\vec{n}-\vec{m})\vec{k}}$$

na jednačinu (2.15), te nakon neznatnih algebarskih operacija, ona prelazi u:

$$\frac{M}{N} \sum_{\vec{k}} e^{-i(\vec{n}-\vec{m})\vec{k}} \left\{ \frac{i\hbar}{2\pi M} - G_{\vec{k}}^{\alpha}(\omega) \left[\omega^2 + 2\frac{C_{\alpha}}{M} (3 - \cos a_x k_x - \cos a_y k_y - \cos a_z k_z) \right] \right\} = 0.$$

Ova jednakost je ispunjena za:

$$\left[\frac{\omega^2}{\Omega_{\alpha}^2} + 2 (\cos a_x k_x + \cos a_y k_y + \cos a_z k_z - 3) \right] G_{\vec{k}}^{\alpha}(\omega) = \frac{i\hbar}{2\pi C_{\alpha}}, \quad (2.16)$$

odnosno:

$$G_{\vec{k}}^{\alpha}(\omega) = \frac{i\hbar}{4\pi M \omega_{\alpha}(\vec{k})} \left[\frac{1}{\omega - \omega_{\alpha}(\vec{k})} - \frac{1}{\omega + \omega_{\alpha}(\vec{k})} \right]. \quad (2.17)$$

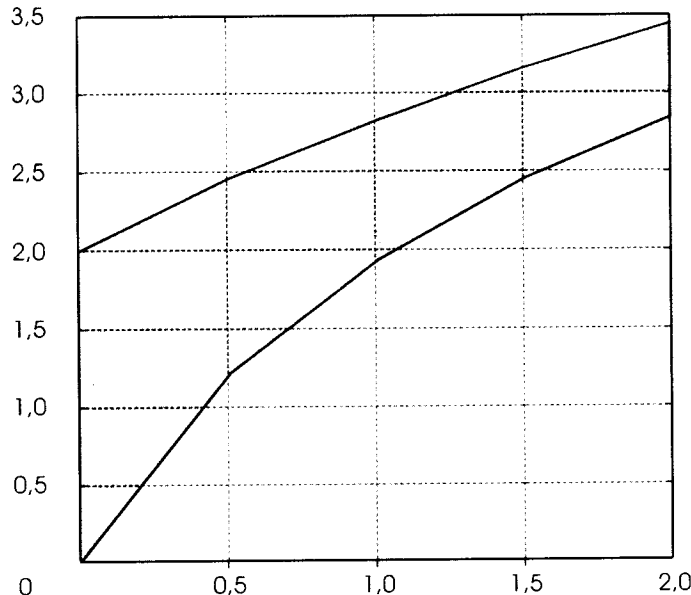
Odavde se, očigledno, polovi Grinovih funkcija nalaze kada se imenioci izraza u uglastoj zagradi izjednače sa nulom. Rešavanjem tog uslova po $\omega \equiv \omega_{\alpha}(\vec{k})$ dobija se traženi zakon disperzije fonona:

$$E_{\alpha}(\vec{k}) \equiv \hbar \omega_{\alpha}(\vec{k}) = 2 E_{\alpha} \sqrt{\sin^2 \frac{a_x k_x}{2} + \sin^2 \frac{a_y k_y}{2} + \sin^2 \frac{a_z k_z}{2}}, \quad (2.18)$$

gde je $E_{\alpha} = \hbar \Omega_{\alpha} = \hbar \sqrt{C_{\alpha}/M}$. Zbog poređenja ove relacije sa odgovarajućom za film strukture, zgodno ju je napisati u sledećoj (bezdimenzionoj) formi:

$$\begin{aligned} \mathcal{E}_{\alpha}(\vec{k}) &= 2 \sqrt{\mathcal{R}(k_x k_y) + \mathcal{S}(k_z)} ; & \mathcal{E}_{\alpha}(\vec{k}) &\equiv \frac{E_{\alpha}(\vec{k})}{E_{\alpha}} ; \\ \mathcal{R}(k_x k_y) &= \sin^2 \frac{a_x k_x}{2} + \sin^2 \frac{a_y k_y}{2} ; & \mathcal{S}(k_z) &= \sin^2 \frac{a_z k_z}{2}. \end{aligned} \quad (2.19)$$

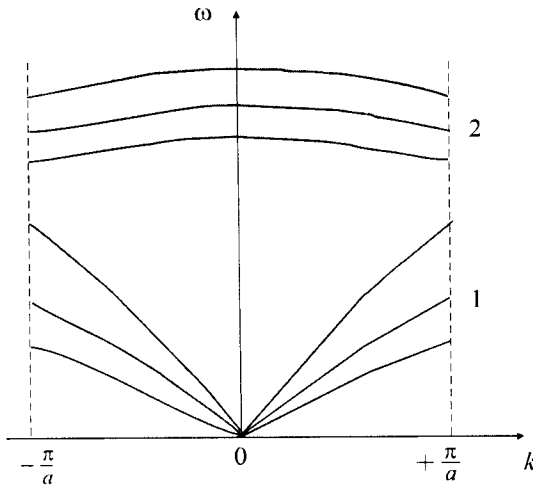
Ovaj zakon disperzije pogodno je prikazati u obliku: $\mathcal{E} = \mathcal{E}_{\mathcal{S}}(\mathcal{R})$, dakle u funkciji dvodimenzione funkcije $\mathcal{R}(k_x k_y) \in [0, 2]$ pri čemu je funkcija $\mathcal{S}(k_z) \in [0, 1]$ parametar (slika 2.2)



Slika 2.2: Fononski spektar balk uzorka

S obzirom da k_z praktično ima beskonačno mnogo mogućih vrednosti ($a_z k_z \in [-\pi, +\pi]$), to i $\mathcal{S}(k_z)$ ima isto toliko. To ima za posledicu da se formira kontinualna zona dozvoljenih fononskih energija.

U aproksimaciji malih talasnih vektora k ($k = \sqrt{k_x^2 + k_y^2 + k_z^2}$) i obeležavanjem: $a = a_x = a_y = a_z$, poslednja relacija se svodi na:



Slika 2.3: Akustičke (1) i optičke (2) fononske grane

što predstavlja tipičan i poznat izraz za zakon disperzije akustičkih fonona.

Kvanti mehaničkih pobuđenja sa linearnim zakonom disperzije, tj. osobinom

$$\lim_{k \rightarrow 0} \omega_\alpha(\vec{k}) = 0 ,$$

nazivaju se **akustičkim fononima**. Analizom kristala složene strukture (sa σ podrešetki) dobija se 3σ dozvoljenih frekvencija, od kojih tri uvek teže nuli kada $k \rightarrow 0$ (akustički fononi), dok preostalih $3\sigma - 3$ frekvencija zadovoljavaju uslov $\lim_{k \rightarrow 0} \omega_\alpha(\vec{k}) \neq 0$.

Mehaničke oscilacije sa ovom osobinom nazivaju se **optičkim fononima**.

2.4 Termodynamika idealnog kristala

Oscilacije atoma u kristalima se iskazuju u nizu pojava, posebno pri apsorpciji i emisiji infracrvenih zraka, pri neelastičnom rasejanju fotona iz vidljivog i infracrvenog dela spektra elektromagnetnih talasa (Ramanov efekat), zatim pri neelastičnom rasejanju neutrona, pri proučavanju rezonantne apsorpcije zraka jezgrima elemenata kristala (Mesbaurov efekat) itd. U raznim pojavama učestvuju različite grane oscilovanja. Naprimjer, emitovanje i apsorpcija svetlosti praćena je nestajanjem i nastajanjem fonona, koji odgovaraju transverzalnim oscilacijama i koji menjaju električni dipolni momenat kristala, pa je Ramanov efekat povezan sa promenom polarizacije kristala. Rasejanje neutrona je povezano sa longitudinalnim fononima, koji izazivaju lokalne gustine kristala.

Iz opšte termodinamičke teorije kristala poznato je da se pomoću zakona disperzije $E_\alpha(\vec{k}) \equiv \hbar \omega_\alpha(\vec{k})$ može definisati unutrašnja energija kristala:

$$U = \sum_{\alpha, \vec{k}} \hbar \omega_\alpha(\vec{k}) \left[e^{\frac{\hbar \omega_\alpha(\vec{k})}{\theta}} - 1 \right]^{-1} , \quad (2.20)$$

a pomoću tog izraza, može se izračunati i toplotna kapacitivnost kristala:

$$C_V = \frac{\partial U}{\partial T} = k_B \frac{\partial U}{\partial \theta} . \quad (2.21)$$

Termodinamičko ponašanje gotovo svih karakteristika kristala određuju fononi. Zato je neophodno videti njihov udeo u specifičnoj toplotni čvrstog tela, odnosno toplotnom kapacitetu tog kristala (jer se obračun vrši po elementarnoj celiji posmatranog kristala). Eksperimentalne činjenice u vezi sa toplotnim kapacitetom su:

- u oblasti sobnih temperatura vrednost toplotnog kapaciteta skoro svih čvrstih tela je blizu $3Nk_B$, gde je N broj atoma
- pri nižim temperaturama toplotni kapacitet opada i teži nuli kao T^3 kod dielektrika, a kao T kod metala; ako uzorak postaje superprovodnik opadanje je još brže od navedenog.

2.4.1 Debajeva aproksimacija – NISKE TEMPERATURE

Ove temperature ($T \sim 10$ K) su takve da se može pretpostaviti da su akustičke grane sa energijom proporcionalnoj talasnom vektoru:

$$\hbar\omega_\alpha(\vec{k}) = \hbar v_\alpha k ; \quad \text{za} \quad ak_{max} \approx 0,1 , \quad (2.22)$$

gde je v_α - brzina zvuka odgovarajuće grane oscilovanja, reda veličine $v_\alpha \sim (10^5 \div 10^7)$ m/s, ako je $a \approx 10^{-10}$ m.

Kod većeg broja elementarnih celija N u kristalu suma se može zameniti integralom i na taj način, u saglasnosti sa dugotalasnom aproksimacijom, dobija se sledeći izraz za U :

$$U = \frac{V\pi^2 N}{10(\hbar\bar{v})^3} \theta^4 , \quad (2.23)$$

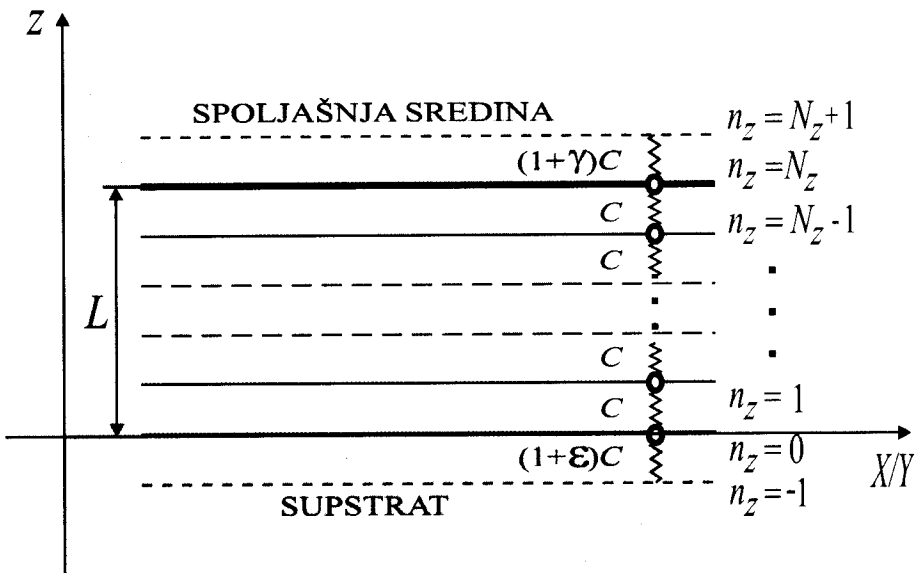
a odatle i toplotna kapacitivnost jedinične zapremine kristala:

$$C_V = \frac{1}{V N} \frac{\partial E}{\partial \theta} = \frac{2\pi^2 k_B}{5(\hbar\bar{v})^3} \theta^3 . \quad (2.24)$$

Ovo predstavlja poznatu zakonitost „ T^3 ”.

3 Fononi u kristalnim filmovima

Tanki kristalni filmovi predstavljaju ograničene kristalne strukture kod kojih se uslovi na granicama razlikuju od onih u unutrašnjosti, tj. translaciona simetrija narušena je duž pravca normalnog na film (z -pravac).



Slika 3.1: Poprečni presek (u $X/Y - Z$ ravni) modela kristalnog filma

Ako unutar filma (između graničnih površina) nema nikakvih deformacija (narušenja) kristalne strukture (kristalna rešetka je bez primesa, vakancija i sl.), onda se on naziva idealnim filmom. U suprotnom, ako ove deformacije postoje (npr. kao posledice dopingovanja stranim atomima), tada se ta struktura naziva deformisanim filmom.

3.1 Analiza fononskog modela

Posmatra se idealni² tanki film kubne kristalne strukture načinjen na supstratu nekim tehničko-tehnološkim postupkom (naparavanjem, spaterovanjem i sl.), čiji su osnovni kristalografski podaci:

$$a_x = a_y = a_z = a ; \quad N_{x,y} \sim 10^8 \gg N_z \sim 10 ;$$

$$C_{\vec{n},\vec{m}}^{\alpha,\beta} = C_{\vec{n},\vec{m}}^{\alpha,\alpha} = C_{\vec{n},\vec{n} \pm \vec{\lambda}}^{\alpha} = C_{\vec{n},\vec{n} \pm \vec{\lambda}} = C_{n_z,n_z \pm 1} ;$$

$$C_{N_z,N_{z+1}} = C_{N_{z+1},N_z} = (1 + \gamma)C , \quad C_{-1,0} = C_{0,-1} = (1 + \varepsilon)C ; \quad \varepsilon, \gamma \geq -1 ,$$

gde je n_z - indeks rešetke duž z -pravca i $n_z \in (0, 1, 2, \dots, N_z)$. Na osnovu toga, o modelu se može zaključiti sledeće.

1. Kristalni film poseduje dve beskonačne granične površine paralelne XY - ravnima i to za $z = 0$ i $z = L$, dok u z - pravcima ima konačnu debeljinu (L).
2. Duž z - ose locirano je $N_z + 1$ atoma.
3. Torzionalne konstante $C^{\alpha\beta}$ zanemarljive su u odnosu na konstante istezanja C_α .

²Pojam - idealni, koristi se u smislu nenarušenja kristalne strukture (bez prisustva defekata, primesa i sl.), a ne u smislu njene prostorne neograničenosti.

4. Smatra se da atomi, koji pripadaju graničnim slojevima prikazanog tankog filma, interaguju sa spoljašnjom sredinom, bez obzira na to što duž z -pravaca iznad gornje i ispod donje granične površine nema atoma (motiva, čvorova) filma, ali su granični atomi „spregnuti” izmenjenim Hukovim silama za atome sredine, odnosno supstrata. U skladu sa napred navedenim uslovima, konstante elastičnosti koje opisuju interakciju atoma graničnih površina sa spoljašnjim sredinama (supstrat i npr. vazduh), modifikovane su odgovarajućim koeficijentima ε i γ .

Uzimajući u obzir uslove $C_j = C$, ($j = 1, 2, \dots, N_z - 1, N_z$) i činjenicu da su slojevi za $n_z \leq -1$ i za $n_z \geq N_z + 1$ odsutni, moramo obračunati i sledeće:

$$u_{\alpha; n_x, n_y, j} = 0 ; \quad -1 \geq j \wedge j \geq N_z + 1 ; \quad (j \notin [0, N_z]) ,$$

$$C_{-1} = (1 + \varepsilon) C ; \quad C_{N_z+1} = (1 + \gamma) C .$$

Kada bi bilo: $C_{-1} = C_{N_z+1} = 0$ ($\varepsilon = \gamma = -1$), tada bi granični atomi za $n_z = 0$ i $n_z = N_z$ bili „zamrznuti”, tj. javio bi se efekat „krutih zidova”, a ako bi važilo: $C_{-1} = C_{N_z+1} = C$ ($\varepsilon = \gamma = 0$), bio bi to efekat „slobodnih površina”.

S obzirom na definisani model, hamiltonijan fononskog podsistema opisanog filma u aproksimaciji najbližih suseda ima isti oblik kao i kod neograničenih kristala - izrazi (2.8-10), ali ga je, zbog postojanja graničnih slojeva, zgodno napisati u razdvojenom vidu:

$$H \equiv T + V_{eff}^P + V_{eff}^Z , \quad (3.1)$$

gde je T - standardan kinetički član. Potencijal koji uključuje interakcije sa graničnim slojevima je oblika:

$$\begin{aligned} V_{eff}^P &= \sum_{\alpha; n_x, n_y} \frac{C_\alpha}{4} \left[2 (1 + \varepsilon) (u_{\alpha; n_x, n_y, 0})^2 + 2 (1 + \gamma) (u_{\alpha; n_x, n_y, N_z})^2 + \right. \\ &+ 2 (u_{\alpha; n_x, n_y, 1} - u_{\alpha; n_x, n_y, 0})^2 + 2 (u_{\alpha; n_x, n_y, N_z} - u_{\alpha; n_x, n_y, N_z-1})^2 + \\ &+ (u_{\alpha; n_x+1, n_y, 0} - u_{\alpha; n_x, n_y, 0})^2 + (u_{\alpha; n_x-1, n_y, 0} - u_{\alpha; n_x, n_y, 0})^2 + \\ &+ (u_{\alpha; n_x, n_y+1, 0} - u_{\alpha; n_x, n_y, 0})^2 + (u_{\alpha; n_x, n_y-1, 0} - u_{\alpha; n_x, n_y, 0})^2 + \\ &+ (u_{\alpha; n_x+1, n_y, N_z} - u_{\alpha; n_x, n_y, N_z})^2 + (u_{\alpha; n_x-1, n_y, N_z} - u_{\alpha; n_x, n_y, N_z})^2 + \\ &\left. + (u_{\alpha; n_x, n_y+1, N_z} - u_{\alpha; n_x, n_y, N_z})^2 + (u_{\alpha; n_x, n_y-1, N_z} - u_{\alpha; n_x, n_y, N_z})^2 \right] . \end{aligned} \quad (3.2)$$

Potencijal sa interakcijama koje obuhvataju unutrašnje slojeve je onda sledećeg oblika:

$$\begin{aligned} V_{eff}^Z &= \sum_{\alpha; n_x, n_y} \frac{C_\alpha}{4} \left\{ \sum_{n_z=1}^{N_z-1} \left[(u_{\alpha; n_x+1, n_y, n_z} - u_{\alpha; n_x, n_y, n_z})^2 + (u_{\alpha; n_x-1, n_y, n_z} - u_{\alpha; n_x, n_y, n_z})^2 + \right. \right. \\ &+ (u_{\alpha; n_x, n_y+1, n_z} - u_{\alpha; n_x, n_y, n_z})^2 + (u_{\alpha; n_x, n_y-1, n_z} - u_{\alpha; n_x, n_y, n_z})^2 \Big] + \\ &+ \left. \sum_{n_z=1}^{N_z-2} (u_{\alpha; n_x, n_y, n_z+1} - u_{\alpha; n_x, n_y, n_z})^2 + \sum_{n_z=2}^{N_z-1} (u_{\alpha; n_x, n_y, n_z-1} - u_{\alpha; n_x, n_y, n_z})^2 \right\} \end{aligned} \quad (3.3)$$

Zakon disperzije fonona i u ovom slučaju se nalazi, kao i u prethodnoj glavi, metodom Grinovih funkcija, tražeći Grinovu funkciju istog oblika kao i (2.12) pomoću jednačine kretanja (2.13). Za razliku od (jednostavnije) situacije za idealne strukture, ovde se moraju izračunati odgovarajući komutatori, odnosno odrediti Grinove funkcije posebno za atome graničnih slojeva, a posebno

za atome iz unutrašnjosti filma. Koristeći u prethodnoj glavi navedene standardne komutacione relacije za pomeraje i impulse atoma (2.11), kao i ostale neophodne osnovne definicije, izračunavaju se potrebni komutatori impulsa i hamiltonijana.

Za donju graničnu površinu za koju je $m_z = 0$:

$$\begin{aligned} [p_{\beta;m_x,m_y,0}, H] &= -i\hbar C_\alpha [(6 + \varepsilon) u_{\beta;m_x,m_y,0} - \\ &- u_{\beta;m_x,m_y,1} - u_{\beta;m_x+1,m_y,0} - \\ &- u_{\beta;m_x-1,m_y,0} - u_{\beta;m_x,m_y+1,0} - u_{\beta;m_x,m_y-1,0}] , \end{aligned} \quad (3.4)$$

za $1 \leq m_z \leq N_z - 1$,

$$\begin{aligned} [p_{\beta;m_x,m_y,m_z}, H] &= -i\hbar C_\alpha (6 u_{\beta;m_x,m_y,m_z} - \\ &- u_{\beta;m_x+1,m_y,m_z} - u_{\beta;m_x-1,m_y,m_z} - u_{\beta;m_x,m_y+1,m_z} - \\ &- u_{\beta;m_x,m_y-1,m_z} - u_{\beta;m_x,m_y,m_z+1} - u_{\beta;m_x,m_y,m_z-1}) \end{aligned} \quad (3.5)$$

i konačno, za gornju graničnu površinu za koju je $m_z = N_z$, dobijamo:

$$\begin{aligned} [p_{\beta;m_x,m_y,N_z}, H] &= -i\hbar C_\alpha [(6 + \gamma) u_{\beta;m_x,m_y,N_z} - \\ &- u_{\beta;m_x,m_y,N_z-1} - u_{\beta;m_x+1,m_y,N_z} - \\ &- u_{\beta;m_x-1,m_y,N_z} - u_{\beta;m_x,m_y+1,N_z} - u_{\beta;m_x,m_y-1,N_z}] . \end{aligned} \quad (3.6)$$

Zamenom nađenih komutatora u (2.13) i preimenovanjem $\beta \rightarrow \alpha$; $m \rightarrow n$, dobija se:

- za $n_z = 0$,

$$\begin{aligned} &- M\omega^2 G_{n_x,n_y,0;m_x,m_y,m_z}^\alpha = -\frac{i\hbar}{2\pi} \delta_{n_x,m_x} \delta_{n_y,m_y} \delta_{0,m_z} - \\ &- C_\alpha [(6 + \varepsilon) G_{n_x,n_y,0;m_x,m_y,m_z}^\alpha - G_{n_x,n_y,1;m_x,m_y,m_z}^\alpha - G_{n_x+1,n_y,0;m_x,m_y,m_z}^\alpha - \\ &- G_{n_x-1,n_y,0;m_x,m_y,m_z}^\alpha - G_{n_x,n_y+1,0;m_x,m_y,m_z}^\alpha - G_{n_x,n_y-1,0;m_x,m_y,m_z}^\alpha] , \end{aligned} \quad (3.7)$$

- za $1 \leq n_z \leq N_z - 1$,

$$\begin{aligned} &- M\omega^2 G_{n_x,n_y,n_z;m_x,m_y,m_z}^\alpha = -\frac{i\hbar}{2\pi} \delta_{n_x,m_x} \delta_{n_y,m_y} \delta_{n_z,m_z} - \\ &- C_\alpha (6 G_{n_x,n_y,n_z;m_x,m_y,m_z}^\alpha - G_{n_x+1,n_y,n_z;m_x,m_y,m_z}^\alpha - G_{n_x-1,n_y,n_z;m_x,m_y,m_z}^\alpha - \\ &- G_{n_x,n_y+1,n_z;m_x,m_y,m_z}^\alpha - G_{n_x,n_y-1,n_z;m_x,m_y,m_z}^\alpha - G_{n_x,n_y,n_z+1;m_x,m_y,m_z}^\alpha - G_{n_x,n_y,n_z-1;m_x,m_y,m_z}^\alpha) , \end{aligned} \quad (3.8)$$

- za $n_z = N_z$,

$$\begin{aligned} &- M\omega^2 G_{n_x,n_y,N_z;m_x,m_y,m_z}^\alpha = -\frac{i\hbar}{2\pi} \delta_{n_x,m_x} \delta_{n_y,m_y} \delta_{N_z,m_z} - \\ &- C_\alpha [(6 + \gamma) G_{n_x,n_y,N_z;m_x,m_y,m_z}^\alpha - G_{n_x,n_y,N_z-1;m_x,m_y,m_z}^\alpha - G_{n_x+1,n_y,N_z;m_x,m_y,m_z}^\alpha - \\ &- G_{n_x-1,n_y,N_z;m_x,m_y,m_z}^\alpha - G_{n_x,n_y+1,N_z;m_x,m_y,m_z}^\alpha - G_{n_x,n_y-1,N_z;m_x,m_y,m_z}^\alpha] . \end{aligned} \quad (3.9)$$

Primenom delimične (zbog narušenja translacione simetrije samo duž z -pravaca) Furije transformacije:

$$G_{n_x,n_y,n_z;m_x,m_y,m_z}^\alpha \equiv G_{\vec{n},\vec{m}}^\alpha(\omega) = \frac{1}{N_x N_y} \sum_{k_x,k_y} e^{-ia[(n_x-m_x)k_x + (n_y-m_y)k_y]} G_{n_z,m_z}^\alpha(k_x, k_y; \omega) \quad (3.10)$$

na sistem jednačina (3.7-9), i nakon istovetnih algebarskih operacija koje su iskorišćene na odgovarajućem mestu u prethodnoj glavi, dolazi se do relacija na osnovu kojih se može uspostaviti sledeći sistem algebarskih diferencnih jednačina:

$$\begin{aligned}
 (\varrho_k^\alpha - \varepsilon) G_{0,m_z}^\alpha + G_{1,m_z}^\alpha &= \mathcal{K} \delta_{0,m_z} \\
 G_{0,m_z}^\alpha + \varrho_k^\alpha G_{1,m_z}^\alpha + G_{2,m_z}^\alpha &= \mathcal{K} \delta_{1,m_z} \\
 G_{1,m_z}^\alpha + \varrho_k^\alpha G_{2,m_z}^\alpha + G_{3,m_z}^\alpha &= \mathcal{K} \delta_{2,m_z} \\
 &\vdots && \vdots \\
 G_{n_z-1,m_z}^\alpha + \varrho_k^\alpha G_{n_z,m_z}^\alpha + G_{n_z+1,m_z}^\alpha &= \mathcal{K} \delta_{n_z,m_z} \\
 &\vdots && \vdots \\
 G_{N_z-3,m_z}^\alpha + \varrho_k^\alpha G_{N_z-2,m_z}^\alpha + G_{N_z-1,m_z}^\alpha &= \mathcal{K} \delta_{N_z-2,m_z} \\
 G_{N_z-2,m_z}^\alpha + \varrho_k^\alpha G_{N_z-1,m_z}^\alpha + G_{N_z,m_z}^\alpha &= \mathcal{K} \delta_{N_z-1,m_z} \\
 G_{N_z-1,m_z}^\alpha + (\varrho_k^\alpha - \gamma) G_{N_z,m_z}^\alpha &= \mathcal{K} \delta_{N_z,m_z}
 \end{aligned} \tag{3.11}$$

gde su: $G_{n_z,m_z}^\alpha \equiv G_{n_z m_z}(k_x, k_y; \omega)$, $\mathcal{K} = \frac{i\hbar}{2\pi C_\alpha}$, $k = \sqrt{k_x^2 + k_y^2}$ i

$$\varrho_k^\alpha = \frac{\omega^2}{\Omega_\alpha^2} - 4 \sin^2 \frac{ak_x}{2} - 4 \sin^2 \frac{ak_y}{2} - 2 \equiv \varrho. \tag{3.12}$$

Sistem jednačina (3.11) ima rešenja koja mogu da se prikažu u obliku $G_{a,b} = D_a / D$, gde je D_a odgovarajuća zamenska, a D determinanta sistema (obe kvadratne):

$$D_{N_z+1}(\varrho) = \left| \begin{array}{ccccccc} \varrho - \varepsilon & 1 & 0 & \cdots & 0 & 0 & 0 \\ 1 & \varrho & 1 & \cdots & 0 & 0 & 0 \\ 0 & 1 & \varrho & \cdots & 0 & 0 & 0 \\ \vdots & \vdots & \vdots & \ddots & \vdots & \vdots & \vdots \\ 0 & 0 & 0 & \cdots & \varrho & 1 & 0 \\ 0 & 0 & 0 & \cdots & 1 & \varrho & 1 \\ 0 & 0 & 0 & \cdots & 0 & 1 & \varrho - \gamma \end{array} \right|_{N_z+1} \tag{3.13}$$

3.2 Spektri fonona u filmu

U skladu sa osnovnim zadatkom ovog istraživanja, a to je određivanje spektra dozvoljenih fononskih energija, koji se dobija iz (3.12) i na osnovu osobina Grinovih funkcija, potrebno je da se odrede polovi traženih Grinovih funkcija. Jasno je da se ovo svodi na određivanje korena (nula) determinante (3.13), odnosno rešavanje jednakosti:

$$D_{N_z+1}(\varrho; \varepsilon, \gamma) \equiv 0 \implies \varrho = \varrho_\nu(\varepsilon, \gamma); \quad \nu = 1, 2, 3, \dots, N_z + 1. \tag{3.14}$$

Ovaj zadatak u opštem slučaju nije analitički rešiv (može se rešiti numerički za zadate parametre: ε , γ i N_z).

U slučaju modela slobodnih površina, kada su: $\varepsilon = \gamma = 0$, ovaj problem ima analitičko rešenje:

$$D_{N_z+1}(\varrho) = \varrho \mathcal{P}_{N_z}(\varrho) - \mathcal{P}_{N_z-1}(\varrho) \equiv \mathcal{P}_{N_z+1}(\varrho). \tag{3.15}$$

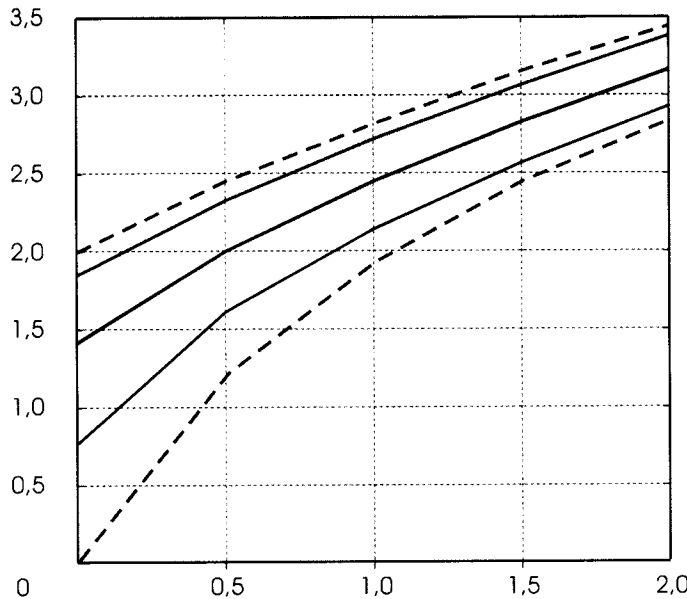
Determinanta (3.13) sistema jednačina (3.11) se izražava direktno preko karakterističnih polinoma Čebiševa reda N_z . Iz uslova (3.14) slede nule Čebiševljevih polinoma, a uzimajući u obzir i izraz

(3.12), jednostavnim algebarskim transformacijama dolazi se do izraza koji daje zakon disperzije fonona u tankom (strukturno nedeformisanom) filmu:

$$\mathcal{E}_\nu^\alpha(\vec{k}) \equiv \frac{\omega_\nu^\alpha(\vec{k})}{\Omega_\alpha} = 2 \sqrt{R(k_x, k_y) + S_\nu(k_z)} ;$$

$$R(k_x, k_y) \equiv \sin^2 \frac{ak_x}{2} + \sin^2 \frac{ak_y}{2} ; \quad S_\nu(k_z) \equiv \sin^2 \frac{ak_z(\nu)}{2} .$$

Na osnovu ovih rezultata zakon disperzije (3.16) grafički je prikazan na slici 3.2 i to: za idealne beskonačne strukture (2.19) - isprekidanim linijama, između kojih je on kontinualan, i za tanki film (3.16) - punim linijama, on je diskretan.



Slika 3.2: Fononski spektar idealnog filma $\mathcal{E} = \mathcal{E}_\nu(R)$ i parametrom $S(\nu)$

Primetni su gepovi i energetska diskretnost (za film), koji su isključiva posledica postojanja prostornih granica.

Na ovaj način, izraz za moguće energije fonona po formi je isti kao izraz (2.19) dobijen za idealne neograničene strukture, s tom razlikom što je tamo k_z praktično kontinualno promenljivo (u intervalu $[0, \pi/a]$) kao što su k_x i k_y , a ovde je izrazito diskretno:

$$k_z(\nu) = \frac{\pi}{a} \frac{\nu}{N_z + 2} ; \quad \nu = 1, 2, 3, \dots, N_z + 1 .$$

Pored toga, uočava se da je: $k_x^{min} = k_y^{min} = 0$; $k_z^{min} \equiv k_z(\nu = 1) = \frac{\pi}{a} \frac{1}{N_z + 2} > 0$, pošto je u pitanju tanak film, odnosno $N_z \ll (N_x, N_y)$, i: $k_x^{max} = k_y^{max} = \frac{\pi}{a}$; $k_z^{max} \equiv k_z(\nu = N_z + 1) = \frac{\pi}{a} \frac{N_z + 1}{N_z + 2} < \frac{\pi}{a}$. Između minimalne i maksimalne vrednosti za k_z , pa prema tome i za $\mathcal{E}_\nu(\vec{k})$, postoji još $N_z - 1$ diskretnih vrednosti³. To znači da fononi u tankim filmovima poseduju „donji“ energetski gep:

$$\Delta \equiv \Delta_{min} = \mathcal{E}_1^\alpha(k_x = k_y = 0, k_z = k_z^{min}) = 2 \sin \left[\frac{\pi}{2(N_z + 2)} \right] ,$$

kao i „gornji“, ali fizički manje interesantan gep.

³Ukupan broj mogućih vrednosti kvaziimpulsa k_z jednak je broju energetskih i dvodimenzionalih podzona: $N_z + 1$.

Ova minimalna energija odgovara aktivacionoj temperaturi:

$$k_B T_{ac}^0 = E_1(0) \implies T_{ac}^0 = 2 \frac{\hbar\Omega}{k_B} \sin \frac{\pi}{2(N_z + 2)}. \quad (3.19)$$

U slučaju dvoslojnog filma ($N_z = 2$) i za tipične podatke visokotemperaturnih keramika:

$$T_{ac}^0 = (15 - 25) \text{ K}. \quad (3.20)$$

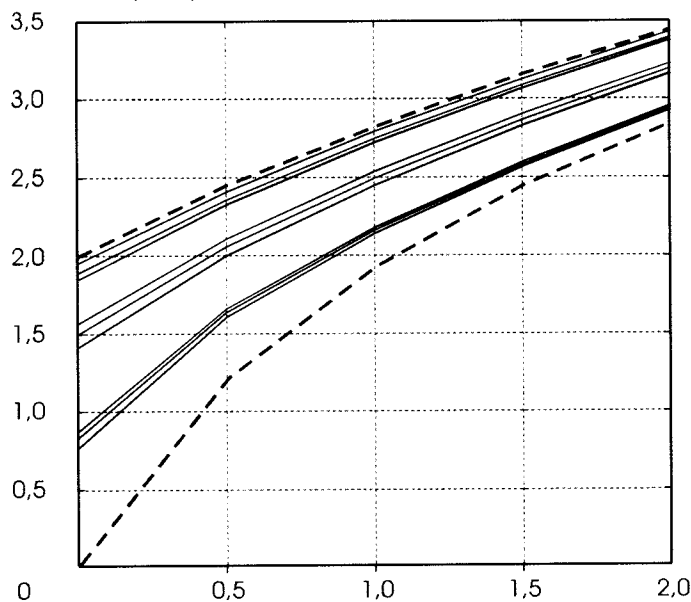
U toku istraživanja razradili smo računarski program pomoću kojeg smo mogli numerički da nalazimo korene determinante (3.13) za proizvoljan broj atomskih ravnih filma ($n_z \geq 2, n_z \leq 10$) i za proizvoljne vrednosti graničnih (perturbacionih) parametara: $(\varepsilon, \gamma) \in [-0,99; +1,5]$. Za brojeve kristalografskih ravnih filma $n_z < 2$ naš model „ne funkcioniše“, a za $n_z > 10$, efekata dimenzionog kvantovanja nema. Perturbacioni parametri ne mogu da imaju vrednosti ispod -0,99 jer već za vrednost -1, nema interakcije graničnih atoma filma sa okruženjem (supstrat i sredina u kojoj se sve nalazi). Ako bi ovi parametri bili manji od -1, onda bi se promenio znak (priroda) međuatomske interakcije. Isto tako i vrednosti preko 1,5 nemaju opravdanje jer je teško očekivati da će interakcija sa okolnim atomima više nego 2,5 puta nadjačati elastičnu interakciju između atoma u unutrašnjosti filma!

Numerička obrada je tako sprovedena da smo, pored brojnih vrednosti za redukovane energije, odmah dobijali i grafičku prezentaciju tih energija u funkciji veličine $R_{xy} \in [0; 2]$. Na slikama 3.3-5 predstavljeni su karakteristični slučajevi: $\gamma = -0,9$ (sl.3.3), $\gamma = -0,5$ (sl.3.4) i $\gamma = 0,0$ (sl.3.5), za najtanji mogući film – film sa dva sloja ($N_z = 2$). Na svakom grafiku, drugi perturbacioni parametar (ε) se menja tako da uzima sledeće vrednosti: 0,0; 0,5 i 1,0. Na taj način, svaki diskretan energetski nivo predstavljen je skupom od tri krive iste boje! Crvene krive odgovaraju idealnom filmu, crne isprekidane označavaju baklovske granice, a krive drugih boja predstavljaju raspored energetskih nivoa fonona u perturbovanom filmu. Dakle, u slučaju perturbovanog ultrartankog filma, zakon disperzije fonona može biti napisan u istom obliku kao i za idealni film:

$$\mathcal{E}_\nu(\vec{k}) = 2 \sqrt{R_{xy} + S_\nu}; \quad (3.21)$$

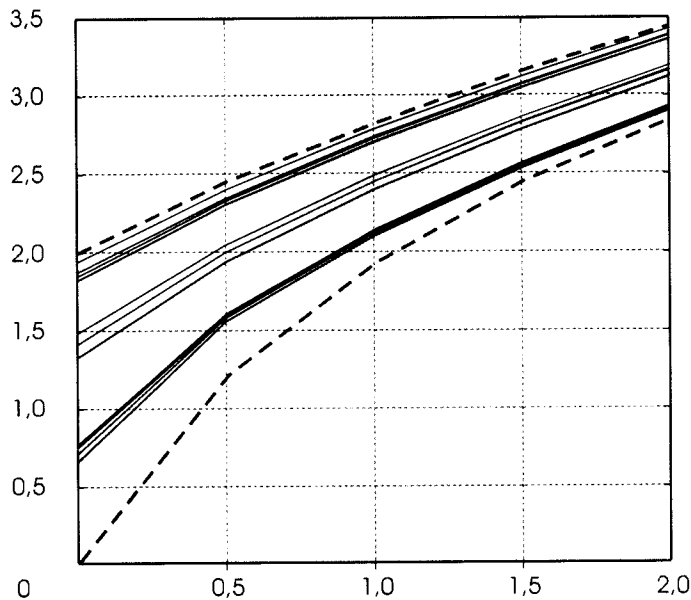
$$R_{xy} \equiv \sin^2 \frac{ak_x}{2} + \sin^2 \frac{ak_y}{2}; \quad S_\nu \equiv \frac{\varrho_\nu + 2}{4}.$$

gde su ϱ_ν koreni determinante (3.13).

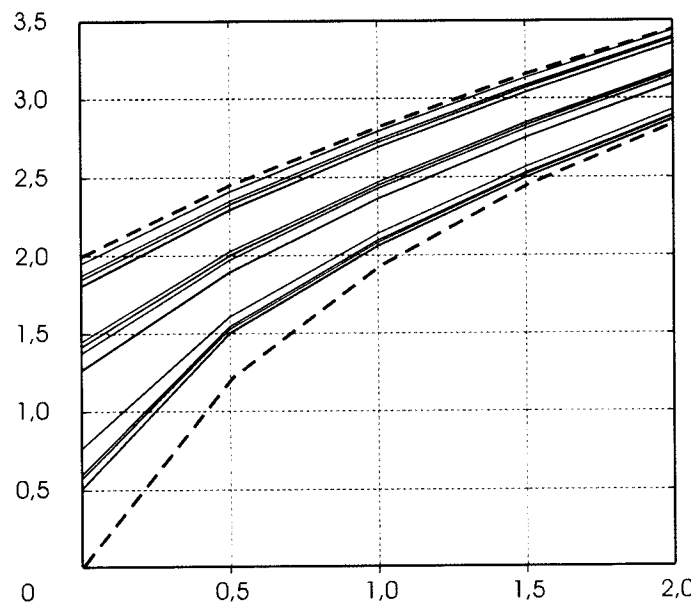


Slika 3.3: Fononski spektar slabo perturbovanog filma

Sa grafika (sl.3.2 i 3.3) se vidi da su fononski spektri izrazito diskretni (duž pravca normalnog na granične površi filma) i ima ih onoliko koliko ima kristalografskih (atomskih) ravnih. U našem istraživanom slučaju to su tri: dve granične i jedna u sredini filma. Dakle, u ovom sistemu se mogu javiti tri različite fononske grane, što se najlepše vidi na sl.3.2 za idealan ultratanki film. Kada se u proračun uključe i perturbacioni parametri oni pomeraju („šiftuju“) ovaj spektar, ali ga i šire/skupljaju.



Slika 3.4: Fononski spektar jače perturbovanog filma



Slika 3.5: Fononski spektar jako perturbovanog filma

Negativne vrednosti parametra γ (koji umanjuju elastičnu interakciju atoma filma sa atomima ili molekulima spoljašnje sredine) dovode do širenja spektra ka balkovskim granicama. Najveći uticaj imaju najmanje vrednosti za $\gamma = -0,9$ (sl.3.3), a za $\varepsilon = 0,0$ (donja grana) i za $\varepsilon = 1,0$ (gornja grana).

Kada je $\gamma = 0,0$ (sl.3.5), a za $\varepsilon = 0,0$ (donja grana) se poklapa sa ponašanjem donje fononske grane kod idealnog filma, ali se za $\varepsilon = 1,0$ (takođe donja grana) poprilično izdiže i povećava energetski gep za 13,4 %. To ima za posledicu da se aktivaciona temperatura, prema (3.19) i (3.20), poveća za isti procenat, tj.

$$T_{ac}^N = (15 - 25) \text{ K}. \quad (3.22)$$

U svim perturbacionim slučajevima, gornja fononska grana se približava balkovskoj zoni, ali iz nje ne izlazi. To znači da sva fononska stanja pripadaju zapreminskim stanjima, nema lokalizacije ni skin-efekta! Zanimljivo bi bilo nastaviti ova istraživanja i ispitati ponašanje fononskog sistema u simetričnim filmovima koji se stvaraju, npr. dopiranjem u nekom supstratu koji će oba perturbaciona parametra „podići” na pozitivne vrednosti.

3.3. Termodinamika fononskih filmova

S obzirom da su osobine anizotropnih odnosno translatoryne-invariantnih struktura uslovljene promenom zakona disperzije, potrebno je posmatrati ponašanje nekih termodinamičkih veličina u cilju dobijanja potpunije slike o tim osobinama.

Uzimajući da, kada $k \rightarrow 0$ (u dugotalasnoj aproksimaciji), energije sve tri fononske grane ostaju različite od nule, možemo koristiti disperzionu relaciju (3.16) u nešto uprošćenom obliku.

Uvodjenjem aproksimacija: $4 \left[\sin^2 \left(\frac{ak_x}{2} \right) + \sin^2 \left(\frac{ak_y}{2} \right) \right] \approx a^2 k^2; \quad k^2 = k_x^2 + k_y^2; \quad \Delta = ak_z^{\min} E_0$. Tada zakon disperzije fonona u filmu ima sledeću formu:

$$E(\vec{k}) = \sqrt{a^2 k^2 E_0^2 + \Delta^2}. \quad (3.23)$$

Medjutim, treba posebno istaći da je provera fononskog zakona disperzije, kod veoma malog k , praktično nemoguća, pa se potvrda postojanja fononskog gepa ogleda npr. merenjem niskotemperaturskih specifičnih toplota u filmu i u odgovarajućoj idealnoj strukturi. To će ujedno dati odgovor na pitanje da li postoji gep u fononskom spektru tankih filmova.

U skladu sa ovim, analiziraćemo toplotnu kapacitivnost ultratankog filma, ali pre toga moramo izračunati unutrašnju energiju ovog sistema, polazeći od već korišćenih standardnih izraza:

$$U_f = 3 \sum_{k_x, k_y, k_z} E(\vec{k}) \left[e^{E(\vec{k})/\theta} - 1 \right]^{-1}. \quad (3.24)$$

Prelaz sa sume na integral se izražava na sledeći način:⁴

$$\sum_{k_x, k_y, k_z} \longrightarrow 3(N_z + 1) \sum_{k_x, k_y} \longrightarrow \frac{3N_x N_y (N_z + 1) a^2}{4\pi^2} \int_0^{2\pi} d\varphi \int_0^{k_{max}} k dk$$

(gde je $k_{max} \approx k_D = \sqrt[3]{6\pi^2}$) i ako ga iskoristimo u (3.23) dobijamo:

$$U_f = \frac{3N_x N_y (N_z + 1) a^2}{2\pi} \int_0^{k_{max}} k \frac{\sqrt{a^2 k^2 E_0^2 + \Delta^2}}{e^{\sqrt{a^2 k^2 E_0^2 + \Delta^2}/\theta} - 1} dk. \quad (3.25)$$

⁴Razlika u odnosu na „balkovski” prelaz $\sum_{\vec{k}} \rightarrow \int d\vec{k} = \int d^3 k$, gde se sa Dekartovih prelazi na sferne koordinate, ovde, zbog ograničenosti jedne prostorne koordinate, moramo preći na cilindrične.

Integral rešavamo uvodjenjem smene $a^2 k^2 E_0^2 + \Delta^2 = \theta^2 t^2$, pa sledi:

$$U_f = \frac{3N_f}{2\pi} \frac{\theta^3}{E_0^2} \int_{\Delta/\theta}^{\sqrt{E_D^2 + \Delta^2}/\theta} \frac{t^2}{e^t - 1} dt = \frac{3N_f}{2\pi} \frac{\theta^3}{E_0^2} \int_T^{\varepsilon T} \frac{t^2}{e^t - 1} dt, \quad (3.26)$$

pri čemu su: $E_D = E_0 ak_{max}$, $N_f = N_x N_y (N_z + 1)$, $T = \Delta/\theta$ i $\varepsilon = \sqrt{1 + (E_D/\Delta)^2}$.

Ako se podintegralna funkcija razvije u red: $(e^t - 1)^{-1} = \sum_{j=1}^{\infty} e^{-jt}$ i zameni u (3.25), taj izraz

prelazi u:

$$U_f = \frac{3N_f}{2\pi} \frac{\theta^3}{E_0^2} \sum_{j=1}^{\infty} \int_T^{\varepsilon T} t^2 e^{-jt} dt. \quad (3.27)$$

Ovaj integral se rešava višestrukom parcijalnom integracijom, nakon čega se dobija konačan izraz za unutrašnju energiju posmatranog prostorno-ograničenog kristalnog sistema:

$$\begin{aligned} U_f &= \frac{3N_f}{2\pi} \left(\frac{\Delta}{E_0} \right)^2 \theta \left\{ \left[Z_1 \left(\frac{\Delta}{\theta} \right) - \varepsilon^2 Z_1 \left(\varepsilon \frac{\Delta}{\theta} \right) \right] + \right. \\ &+ \left. 2 \frac{\theta}{\Delta} \left[Z_2 \left(\frac{\Delta}{\theta} \right) - \varepsilon Z_2 \left(\varepsilon \frac{\Delta}{\theta} \right) \right] + 2 \left(\frac{\theta}{\Delta} \right)^2 \left[Z_3 \left(\frac{\Delta}{\theta} \right) - Z_3 \left(\varepsilon \frac{\Delta}{\theta} \right) \right] \right\}, \end{aligned} \quad (3.28)$$

gde je $Z_r(X) = \sum_{j=1}^{\infty} j^{-r} e^{-jX}$ - Dajsonova funkcija.

Za nalaženje izraza za topotnu kapacitivnost po jednoj elementarnoj celiji (ovde: po jednom atomu), krenućemo opet od standardnog izraza:

$$C_f = \frac{1}{N_f} \frac{\partial U_f}{\partial T} = \frac{k_B}{N_f} \frac{\partial U_f}{\partial \theta}. \quad (3.29)$$

Pažljivim diferenciranjem⁵ izraza (3.27) po θ dobija se:

$$\begin{aligned} C_f &= \frac{3k_B}{2\pi} \left(\frac{\Delta}{E_0} \right)^2 \left\{ \frac{\Delta}{\theta} \left[\left(e^{\Delta/\theta} - 1 \right)^{-1} - \varepsilon^3 \left(e^{\varepsilon\Delta/\theta} - 1 \right)^{-1} \right] + \right. \\ &+ 3 \left[Z_1 \left(\frac{\Delta}{\theta} \right) - \varepsilon^2 Z_1 \left(\varepsilon \frac{\Delta}{\theta} \right) \right] + 6 \frac{\theta}{\Delta} \left[Z_2 \left(\frac{\Delta}{\theta} \right) - \varepsilon Z_2 \left(\varepsilon \frac{\Delta}{\theta} \right) \right] + \\ &\left. + 6 \left(\frac{\theta}{\Delta} \right)^2 \left[Z_3 \left(\frac{\Delta}{\theta} \right) - Z_3 \left(\varepsilon \frac{\Delta}{\theta} \right) \right] \right\}. \end{aligned} \quad (3.30)$$

Analizom ovog izraza može se uočiti da on sadrži dva suštinska dela:

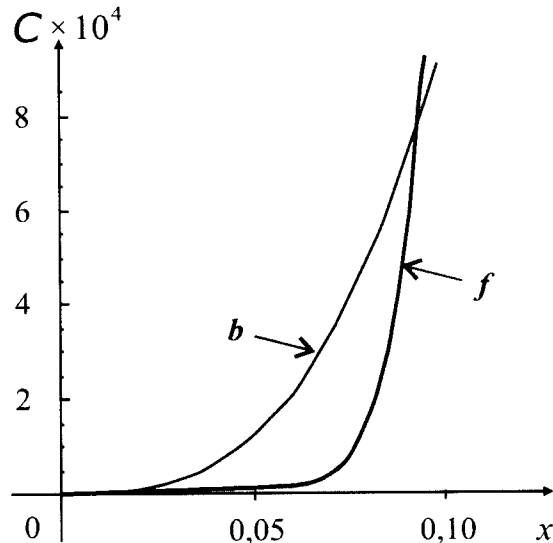
1. Prvi deo, koji ima inverznu eksponencijalnu zavisnost od recipročne temperature:

$$\left(e^{\Delta/\theta} - 1 \right)^{-1}, \text{ odnosno } \left(e^{\varepsilon\Delta/\theta} - 1 \right)^{-1},$$

i koji je odgovoran za ponašanje topotne kapacitivnosti u niskim i visokim temperaturskim uslovima.

⁵Uzeti u obzir da je: $\frac{\partial}{\partial \theta} Z_r \left(\frac{\Delta}{\theta} \right) = \frac{\Delta}{\theta^2} Z_{r-1} \left(\frac{\Delta}{\theta} \right)$ $r \geq 2$, kao i $\frac{\partial}{\partial \theta} Z_1 \left(\frac{\Delta}{\theta} \right) = \frac{\Delta}{\theta^2} \left(e^{\Delta/\theta} - 1 \right)^{-1}$.

2. Drugi deo, izražen preko Dajsonovih funkcija $Z_r(\Delta/\theta)$, pokazuje kako se toplotni kapacitet ponaša u oblasti srednjih temperatura (znatno manjih od temperatura faznog prelaza). Ovaj član prepostavlja linearnu zavisnost toplotnog kapaciteta filma od temperature.



Slika 3.6: Niskotemperaturska zavisnost fononskog udela u toplotnoj kapacitivnosti balk i film-struktura

Na grafiku (slika 3.6) predstavljeni su toplotne kapacitivnosti neograničene i ultratanke film-strukture u zavisnosti od relativne temperature $x = \theta/\Delta$. Vidi se da je, od $x \approx 0,1$ pa sve do temperature $x \approx 0,9$, toplotna kapacitivnost filma niža od istog za balk-strukture, što znači da je zagrevanje filma u tom intervalu temperature teže nego odgovarajućih masivnih struktura. Takodje, uočljivo je da toplotna kapacitivnost filma, sa sniženjem temperature, brže opada nego kod odgovarajuće idealne strukture: $C_f \sim T^{-1} \exp(-\text{const}/T)$, $C_b \sim T^3$, ili sporije raste sa povećanjem temperature (sve do neke temperature $T_* = \frac{\Delta}{k_B} x_*$). Dakle, za zagrevanje filma do temperature $T \leq T_*$, potrebno je utrošiti mnogo veću toplotnu energiju po jedinici mase nego za zagrevanje iste mase odgovarajuće (sa istim kristalografskim podacima) neograničene strukture do iste temperature. Ovo je u saglasnosti sa zaključkom da fononi u filmu poseduju znatno veće energije pobudjenja.

4 Z a k l j u č a k

U radu su istraženi i analizirani energetski spektri (moguća energetska stanja) fonona u kristalnim idealnim beskonačnim, tj. neograničenim i u jako ograničenim strukturama (ultratankim filmovima), sa primitivnom kubnom rešetkom. Na osnovu ovoga se došlo do sledećih važnijih rezultata.

1. Ove analize su pokazale bitne razlike u zakonu disperzije fonona u pomenutim sistemima, kao isključive posledice postojanja granica odgovarajuće strukture, u kojima energetski spektri poseduju energetske gepove. Veličine gepova zavise od dimenzija uzoraka (debljine filma) i veoma brzo - praktično parabolički, opadaju sa njihovim povećanjem.
2. Postojanje graničnih uslova ima za posledicu promenu energetske zone fonona. U odnosu na zonu dozvoljenih energija idealnih struktura sa praktično kontinualnim rasporedom, zona fononskih dozvoljenih energija u filmu je izrazito diskretna. Ona se sastoji od dvodimenzionalnih podzona. U svakoj od podzona energija uzima kontinualne vrednosti. Povećanjem broja slojeva filma povećava se broj diskretnih stanja unutar zone dozvoljenih energija.
3. Spektri fonona u film-strukturama poseduju donji (kao i jedan gornji) energetski gep. Posledica postojanja donjeg energetskog gepa može da se tumači na sledeći način: on odgovara energiji osnovnog stanja fononskog sistema i predstavlja najmanju energiju koju treba uložiti da bi se u filmu pojavili akustički fononi (optičkog tipa). Sve do te energije (aktivacione temperature) fononi se mogu nalaziti samo u nekim od vezanih stanja, npr. sa elektronima u Kuperovim parovima. Do te temperature ceo sistem se ponaša kao zamrznut.
4. Na relativno niskim temperaturama toplotna kapacitivnost neograničenih uzoraka se menja sa temperaturom kao T^3 , dok je u filmovima ta zavisnost $T^{-1} \exp\{const/T\}$. Sve do neke temperature T_* , toplotni kapacitet ima niže vrednosti u tankim filmovima nego u masivnim uzorcima. Do temperature T_* , potrebno je utrošiti veću toplotu za zagrevanje filmova, što je u skladu sa činjenicom da je energija pobudjivanja fonona veća u filmu nego u masivnim uzorcima.

5 Literatura

1. D.Raković:
FIZIČKE OSNOVE I KARAKTERISTIKE ELEKTROTEHNIČKIH MATERIJALA,
Elektrotehnički fakultet, Beograd 1995.
2. Z.Ikonić i V.Milanović:
POLUPROVODNIČKE KVANTNE MIKROSTRUKTURE,
Univerzitet u Beogradu, Beograd 1997.
3. S.G.Davison and M.Steslicka:
BASIC THEORY OF SURFACE STATES,
Clarendon, Oxford 1996.
4. M.G.Cottam, D.R.Tilley:
INTRODUCTION TO SURFACE AND SUPERLATTICE EXCITATIONS,
Univ. Press, Cambridge 1989.
5. Ž.A.Spasojević i Z.V.Popović:
ELEKTROTEHNIČKI I ELEKTRONSKI MATERIJALI,
Promezzia, Beograd 1995.
6. I.Supek:
TEORIJSKA FIZIKA I STRUKTURA MATERIJE,
Školska knjiga, Zagreb 1977.
7. C.Kittel:
QUANTUM THEORY OF SOLIDS,
Wiley, New York 1963.
8. B.S.Tošić:
STATISTIČKA FIZIKA,
Institut za fiziku PMF, Novi Sad 1978.
9. G.Rickayzen:
GREEN'S FUNCTIONS AND CONDENSED MATTER,
Academic Press, London 1980.
10. S.Jaćimovski:
KOLEKTIVNO MEHANIČKO OSCILOVANJE I TERMODINAMIČKE
OSOBINE SUPERPROVODNIH FILMOVA,
Elektrotehnički fakultet, Beograd 1997.
11. L.A.Gribov:
THEORY OF INFRARED SPECTRA OF POLYMERS
Nauka, Moskva 1977.
12. D.S.Mitrinović, D.Mihailović i P.M.Vasić:
LINEARNA ALGEBRA, POLINOMI, ANALITIČKA GEOMETRIJA
Gradjevinska knjiga, Beograd 1990.

UNIVERZITET U NOVOM SADU
PRIRODNO-MATEMATIČKI FAKULTET
KLJUČNA DOKUMENTACIJSKA INFORMACIJA

- Redni broj:
RBR
- Identifikacioni broj:
IBR
- Tip dokumentacije:
Monografska dokumentacija
TD
- Tip zapisa:
Tekstualni štampani materijal
TZ
- Vrsta rada:
Diplomski rad
VR
- Autor:
Dejan Topić, br.dos. 233/98
AU
- Mentor:
*Akademik dr Jovan Šetrajčić,
redovni profesor, PMF, Novi Sad*
MN
- Naslov rada:
*Doprinos fononskog podsistema
termikim osobinama nanofilmova*
NR
- Jezik publikacije:
Srpski (latinica)
JP
- Jezik izvoda:
Srpski
JI
- Zemlja publikovanja:
Srbija
ZP
- Uže geografsko područje:
Vojvodina
UGP
- Godina:
2011.
GO
- Izdavač:
Autorski reprint
IZ
- Mesto i adresa:
*Prirodno-matematički fakultet,
Trg Dositeja Obradovića 4, 21000 Novi Sad*
MA
- Fizički opis rada:
(5/26/12/0/2/7/3)
FO
- Naučna oblast:
Fizika
NO
- Naučna disciplina:
Fizika čvrstog stanja
ND
- Predmetna odrednica / ključne reči:
*ultratanki filmovi, fononi,
Grinove funkcije, spektri i stanja
toplotna kapacitivnost*
PO
- Čuva se:
*Biblioteka Instituta za fiziku,
PMF Novi Sad*
- Izvod:
*U radu je primjenjen metod dvovremenskih
Grinovih funkcija za određivanje energetskih
spektara i stanja fonona u ultratankim kristal-
nim filmovima. Određena je niskotemper-
aturska zavisnost topotne kapacitivnosti.*
IZ
- Datum prihvatanja teme od strane Veća:
.....2011.
DP
- Datum odbrane:
.....2011.
DO
- Članovi komisije:
 - Predsednik:
*Dr Milica Pavkov-Hrvojević,
vanred. profesor PMF, Novi Sad*
 - Članovi:
*Akademik dr Jovan Šetrajčić,
red. profesor PMF, Novi Sad*
*Dr Maja Stojanović,
docent PMF, Novi Sad*KO

UNIVERSITY OF NOVI SAD
FACULTY OF SCIENCES
KEY WORDS DOCUMENTATION

- Accension number:
ANO
- Identification number:
INO
- Document type:
Monograph type
DT
- Type of record:
Printed text
TR
- Contents Code:
Diploma work
CC
- Author:
Dejan Topić
AU
- Mentor:
Academician, Prof. Dr Jovan Šetrajčić
MN
- Title:
*Contribution of Phonon Subsystem
to the Thermal Properties of Nano-Films*
NR
- Language of text:
Serbian
LT
- Language of abstract:
English
LA
- Country of publication:
Serbia
CP
- Locality of publication:
Vojvodina
LP
- Publication year:
2011.
PY
- Publisher:
Author's reprint
PU
- Publ.place:
*Novi Sad,
Department of Physics,
Faculty of Sciences,
Trg Dositeja Obradovića 4*
PP
- Physical description:
(5/26/12/0/2/7/3)
PD
- Scientific field:
Physics
SF
- Scientific discipline:
Solid State Physics
SD
- Key words:
*ultrathin films, phonons,
Green's functions, spectra and states, heat capacity*
KW
- Holding data:
Library
Department of Physics, Novi Sad
- HD Note: N
- Abstract:
In this work, the method of two-time dependent Green's functions was applied to researching of the energy spectra and state of phonons in ultrathin crystalline films. Low-temperature behaviour of heat capacity were founded.
AB
- Accepted by the Scientific Board on:
.....2011.
ASB
- Defended:
.....2011.
DE
- Work defend board:
 - DB President:
*Dr. Milica Pavkov-Hrvojević,
Associated Professor, Faculty of Sciences,
University of Novi Sad*
 - Members:
*Academician Dr. Jovan Šetrajčić,
Full Professor, Faculty of Sciences,
University of Novi Sad*
*Dr. Maja Stojanović,
Assistant Professor, Faculty of Sciences,
University of Novi Sad*

Kratka biografija autora



Rodjen 01.01.1979. u Subotici. Završio osnovnu i srednju tehničku školu u Subotici. Prirodno-matematički fakultet – Institut za fiziku, smer diplomirani fizičar upisao 1998.

Novi Sad, 20.07.2011.


Dejan Topić